

О СТРУКТУРНЫХ ПЕРЕХОДАХ В ОДНОМЕРНОЙ МОДЕЛИ СТЕКЛА

Л. И. Маневич, Г. М. Сигалов

© 1992

В рамках одномерной точно разрешимой модели стекла аналитически исследована трансформация совокупности ее метастабильных конфигураций при увеличении интенсивности сжимающих либо растягивающих усилий. Предварительно детально изучено множество таких конфигураций и проведена их классификация. Показано, что эта трансформация при действии внешнего поля сводится к последовательности структурных переходов, которые состоят в уменьшении числа метастабильных состояний, обусловленных существованием эффективных двухъямных потенциалов.

Одна из основных трудностей теории стеклообразного состояния, препятствующая микроскопическому описанию процессов структурной трансформации (в частности, перехода стекло—кристалл), релаксации и деформации, состоит в необходимости рассмотрения весьма сложных (случайных) конфигураций атомов, образующих стекло. Для кристаллизующихся систем можно, по крайней мере в принципе, построить все такие метастабильные конфигурации, рассматривая большие отклонения от идеальной кристаллической решетки. Но реализация подобной программы приводит к чрезвычайно сложной с математической точки зрения многомерной нелинейной задаче. Поэтому характеристика структуры стекол проводится в настоящее время на основе тех или иных феноменологических моделей либо результатов численного моделирования. Между тем в последние годы построена первая микроскопическая модель одномерного стекла при специальном выборе межатомных потенциалов, предопределяющем конкуренцию ангармонического взаимодействия соседних атомов и гармонического — со вторыми соседями, а также возможность сведения к модели типа Изинга [1, 2]. Последнее обстоятельство и обусловило возможность строгого доказательства существования экспоненциально большого числа структурно-неупорядоченных состояний, что и составляет основной результат работы [1].

Поскольку аналитическое исследование термодинамики и кинетики возможно лишь в такой модели, свойства которой удается рассчитать *ab initio*, указанная одномерная модель стекла Райхерта—Шиллинга (РШ) является пока уникальной. С одной стороны, она представляет собой цепочку классических частиц с заданным потенциалом парного взаимодействия, так что гамильтониан есть непрерывная функция координат. С другой стороны, все равновесные конфигурации системы однозначно соответствуют определенным состояниям одномерной модели Изинга, что позволяет эффективно использовать при построении термодинамики аппарат статистической физики. В совокупности это дает возможность получить детальную информацию о потенциальной поверхности системы, ее фазовых траекториях, изучить отклик системы на внешние воздействия и классифицировать различные состояния системы РШ. Цель

настоящей работы состоит в анализе последовательных структурных трансформаций одномерной модели стекла под действием внешнего статического поля, приводящих к постепенному вырождению метастабильных состояний, так что единственно возможным остается упорядоченное состояние системы.

1. Модель Райхерта—Шиллинга

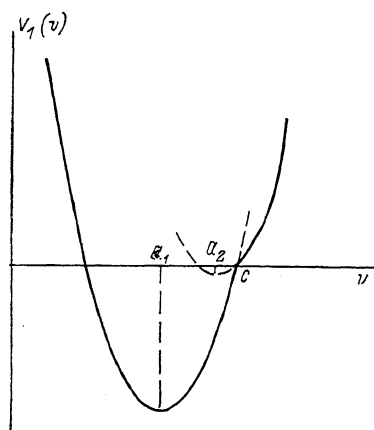
Взаимодействие частиц в системе РШ определяется следующим образом:

$$V(u_{n+m} - u_n) = \begin{cases} V_1(v_n), & m=1, v_n = u_{n+1} - u_n, \\ V_2(v_n + v_{n+1}), & m=2, \\ 0, & m > 2. \end{cases} \quad (1)$$

Потенциал «дальнего действия» V_2 параболический

$$V_2(v) = \frac{1}{2} C_2 (v - b)^2. \quad (2)$$

Потенциал ближнего действия V_1 кусочно-параболический: он состоит из двух парабол одинаковой кривизны C_1 с вершинами в различных точках (a_1, h_1) и (a_2, h_2) , причем $a_1 < a_2$, $h_1 < h_2$ (рис. 1)



$$V_1(v) =$$

$$= \frac{1}{2} C_1 \{ [v - a_+ - a_- \sigma(v)]^2 - [c - a_+ - a_- \sigma(v)]^2 \}. \quad (3)$$

$$a_{\pm} = \frac{1}{2} (a_2 \pm a_1), \quad (4)$$

$$\sigma(v) = \text{sign}(v - c) \in \{-1; 1\}. \quad (5)$$

Гамильтониан системы РШ при нулевой температуре имеет вид

$$H(\{v_j\}) = \sum_n V_1(v_n) + V_2(v_n + v_{n+1}) \quad (6)$$

Как было найдено в работе [1], стационарное уравнение

$$\frac{\partial H}{\partial v_n} = 0 \quad (7)$$

Рис. 1. Потенциал ближнего действия модели Райхерта—Шиллинга.

сводится к уравнению самосогласования для стационарных конфигураций $\{v_n\}$

$$v_n = A + \frac{1}{2} B \frac{1 - \eta}{1 + \eta} \left\{ \sigma(v_n) + \sum_{i=1}^{\infty} \eta^i [\sigma(v_{n-i}) + \sigma(v_{n+i})] \right\}, \quad (8)$$

где

$$A = \frac{(1 + \eta)^2 a_+ - 2\eta b}{(1 - \eta)^2}, \quad (9)$$

$$B = \frac{2a_- (1 + \eta)^2}{(1 - \eta)^2}, \quad (10)$$

$$\eta = -\gamma (1 - \sqrt{1 - \gamma^2}) = \sqrt{\gamma^2 - 1} - \gamma, \quad (11)$$

$$\gamma = 1 + C_1/2C_2. \quad (12)$$

Теперь, если заменить $\{\sigma(v_n)\}$ в (8) заданной последовательностью $\sigma = \{\sigma_n\}$ изинговых переменных $\sigma_n = \pm 1$, то получим конфигурацию $\{v_n(\sigma)\}$ для любой σ . Такая конфигурация $\{v_n(\sigma)\}$ является решением (8) тогда и только тогда, когда 1) v_n положительны и ограничены

$$0 < v_n < +\infty, \quad (13)$$

2) выполнено условие самосогласования

$$\sigma(v_n(\sigma)) = \sigma_n. \quad (14)$$

Из (8) следует оценка [1]

$$A - \frac{B}{2} \frac{(1-\eta)(1+|\eta|)}{(1+\eta)(1-|\eta|)} \leq v_n \leq A + \frac{B}{2} \frac{(1-\eta)(1+|\eta|)}{(1+\eta)(1-|\eta|)}. \quad (15)$$

Отсюда находим, что все v ограничены при

$$|\eta| < 1 \quad (16)$$

и $v_n > 0$, если

$$b < \frac{(1+\eta)^2}{2\eta} a_1, \quad 0 < \eta < 1, \quad (17)$$

$$b > \frac{(1+\eta)^2}{2\eta} a_1 + 2a_+, \quad -1 < \eta < 0. \quad (18)$$

Условие самосогласования (14) означает, что

$$v_n - c > 0: \quad \forall n: \sigma_n = 1, \quad (19)$$

$$v_n - c < 0, \quad \forall n: \sigma_n = -1. \quad (20)$$

Введем теперь обозначение

$$\lambda_n(\{\sigma_n\}) = \sum_i \eta^{i1} \sigma_{n+i}, \quad (21)$$

тогда условие самосогласования (19) с учетом уравнения (8) примет вид

$$A + \frac{1}{2} B \frac{1-\eta}{1+\eta} \lambda_n(\sigma) - c > 0, \quad \forall n: \sigma_n = +1. \quad (22)$$

Определим для данной конфигурации $\sigma = \{\sigma_n\}$ величину

$$\lambda_+(\sigma) = \inf_{n: \sigma_n = +1} \lambda_n. \quad (23)$$

Усиливая неравенство (22), получаем

$$\lambda_+(\sigma) > \varepsilon, \quad \varepsilon = \frac{2}{B} \frac{1+\eta}{1-\eta} (c - A). \quad (24)$$

Аналогично, определив функцию

$$\lambda_-(\sigma) = \sup_{n: \sigma_n = -1} \lambda_n, \quad (25)$$

запишем (20) в виде

$$\lambda_-(\sigma) < \varepsilon. \quad (26)$$

Неравенства (24), (26) при данном ε определяют количество и вид самосогласованных решений уравнения (8), а значит, и метастабильных состояний системы РШ. Исследование функций $\lambda_{\pm}(\sigma)$ составляет содержание следующего раздела.

2. Свойства функций $\lambda_{\pm}(\sigma)$

Целью настоящего раздела является ответ на вопрос: каковы конфигурации σ , удовлетворяющие условиям

$$\lambda_{-}(\sigma) < \varepsilon < \lambda_{+}(\sigma) \quad (27)$$

при некотором (действительном) ε , и каково число таких конфигураций при данном ε ? Для этого изучим область значений функций $\lambda_{\pm}(\sigma)$. Поскольку эти значения ввиду (21), (23), (25) зависят от локальных свойств последовательности $\sigma = \{\sigma_n\}$, представляется естественным описывать σ с помощью метода статистики локальных конфигураций — разновидности кластерного подхода. В k -м приближении разобьем последовательность $\{\sigma_n\}$ на отрезки $[\sigma_{n-k}; \sigma_{n+k}]$, $n = \dots, -1, 0, 1, \dots$; такой отрезок длиной $(2k+1)$ будем называть n -м $(2k+1)$ -кластером. Для каждого из них сумма (21) может быть представлена в виде

$$\lambda_n = \sum_{i=-k}^k \eta^{|\sigma_{n+i}|} + \sum_{|i|>k} \eta^{|\sigma_{n+i}|} = \lambda_n^{(k)} + \mu_n^{(k)}, \quad (28)$$

где величина $\lambda_n^{(k)}$ известна точно, а для $\mu_n^{(k)}$ верна оценка

$$-\frac{2|\eta|^{k+1}}{1-|\eta|} \leq \mu_n^{(k)} \leq \frac{2|\eta|^{k+1}}{1-|\eta|}. \quad (29)$$

Так, в нулевом приближении для любых σ имеем

$$\xi \leq \lambda_{+}(\sigma) \leq \zeta, \quad -\zeta \leq \lambda_{-}(\sigma) \leq -\xi, \quad (30)$$

$$\xi = 1 - \frac{2|\eta|}{1-|\eta|}, \quad \zeta = 1 + \frac{2|\eta|}{1-|\eta|}. \quad (31)$$

Значит, условие (27) выполняется для всех возможных σ тогда и только тогда, когда $\xi > 0$ или

$$|\eta| < 1/3. \quad (32)$$

В дальнейшем ограничимся рассмотрением этого случая.

Поскольку неравенства (30) справедливы для всех $\sigma = \{\sigma_n\}$, то условия (27) выполняются автоматически для ε таких, что $|\varepsilon| < \xi$. Цепочка Изинга из N частиц имеет $\mathfrak{N}_N = 2^N$ различных конфигураций. Удобно поэтому в качестве меры количества последовательностей σ , удовлетворяющих условиям (27) при заданном ε , выбрать величину

$$\nu = \lim_{N \rightarrow \infty} \frac{1}{N} \log_2 \mathfrak{N}_N. \quad (33)$$

В частности, для состояния абсолютного хаоса, когда все 2^N конфигураций существуют и равновероятны, $\nu = 1$.

Заметим, что не существует ни одной последовательности σ , для которой $\lambda_{+}(\sigma) > \zeta$. Однако само условие $\lambda_{+} > \varepsilon$ не имеет смысла для последовательности σ , не содержащей $\sigma_n = +1$. Поэтому решениями неравенств (27) будут также последовательности

$$\sigma_n = +1 \quad \forall n, \quad \varepsilon < -\zeta, \quad (34)$$

$$\sigma_n = -1 \quad \forall n, \quad \varepsilon > \zeta. \quad (35)$$

Хотя оба этих состояния являются упорядоченными, между ними, как будет показано ниже, есть принципиальная разница. Таким образом, при $|\varepsilon| > \zeta$ $\nu = 0$. В промежутке $|\varepsilon| \in [\xi; \zeta]$ величина $\nu(\varepsilon)$ изменяется от 1 до 0 (рис. 2).

Заметим также, что в силу (31) с учетом (32) при $\epsilon > 0$ условие (26) выполняется для всех σ ; аналогично при $\epsilon < 0$ выполняется для всех σ неравенство (24). В целом картина симметрична относительно изменения знака ϵ и можно ограничиться рассмотрением, например, только случая $\epsilon > 0$.

Как было показано в работе [1], физически важным является случай $\eta < 0$. С учетом (32) дальнейшие рассуждения будут касаться случая $-1/3 < \eta < 0$.

Переходя к первому приближению, детализируем график $\nu = \nu(\epsilon)$ на отрезке $\epsilon \in [\xi; \zeta]$. Для последовательностей σ , содержащих триады (+++), справедлива оценка

$$1 - 2|\eta| - \frac{2|\eta|^2}{1-|\eta|} \leq \lambda_+ \leq 1 - 2|\eta| + \frac{2|\eta|^2}{1-|\eta|}. \quad (36)$$

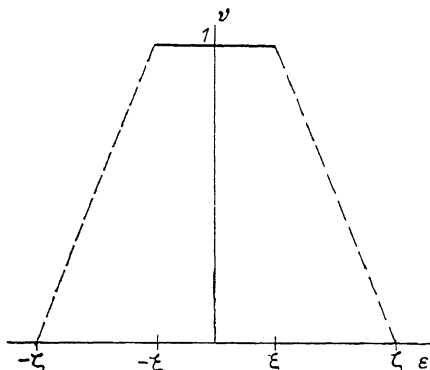


Рис. 2. График функции $\nu(\epsilon)$ в нулевом приближении.

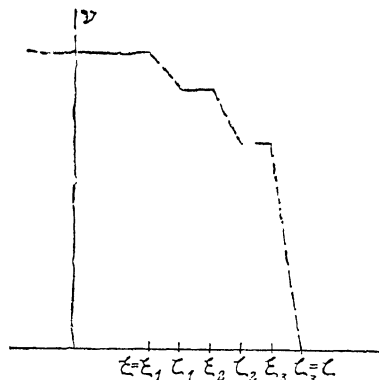


Рис. 3. График функции $\nu(\epsilon)$ в первом приближении; $\nu(-\epsilon) = \nu(\epsilon)$.

Для σ , не содержащих (+++), но содержащих (++-) или (-+-), имеем оценку

$$1 - \frac{2|\eta|^2}{1-|\eta|} \leq \lambda_+ \leq 1 + \frac{2|\eta|^2}{1-|\eta|}, \quad (37)$$

для прочих последовательностей σ

$$1 + 2|\eta| - \frac{2|\eta|^2}{1-|\eta|} \leq \lambda_+ \leq 1 + 2|\eta| + \frac{2|\eta|^2}{1-|\eta|}. \quad (38)$$

Промежутки, определяемые формулами (36)–(38), обозначим соответственно $[\xi_1; \zeta_1]$, $[\xi_2; \zeta_2]$, $[\xi_3; \zeta_3]$, причем (рис. 3)

$$\xi_1 \equiv \xi, \quad \zeta_3 \equiv \zeta. \quad (39)$$

Поскольку не существует σ таких, что

$$\lambda_+(\sigma) \in [\zeta_1; \xi_2] \text{ или } \lambda_+(\sigma) \in [\zeta_2; \xi_3], \quad (40)$$

то на этих участках $\nu(\epsilon) = \text{const}$. Что же касается отрезков $[\xi_\alpha; \zeta_\alpha]$, $\alpha = 1, 2, 3$, то они снова нуждаются в детализации. Структура соотношений (28), (29) предопределяет тот факт, что и в следующем приближении для каждого из отрезков $[\xi_\alpha; \zeta_\alpha]$ получим картину, аналогичную изображенной на рис. 3.

Обобщим полученные результаты. Обозначим

$$I_{\alpha\beta\dots\gamma\delta} = [\xi_{\alpha\beta\dots\gamma\delta}, \zeta_{\alpha\beta\dots\gamma\delta}], \quad \alpha, \beta, \dots, \gamma, \delta = 1, 2, 3, \quad (41)$$

$$J_{\alpha\beta\dots\gamma\delta} = [\zeta_{\alpha\beta\dots\gamma\delta}, \xi_{\alpha\beta\dots\gamma(\delta+1)}], \quad \alpha, \beta, \dots, \gamma = 1, 2, 3, \delta = 1, 2, \quad (42)$$

$$\xi_{\alpha\beta} \dots \gamma\delta = 1 + 2(\alpha - 2)|\eta| + 2(\beta - 2)|\eta|^2 + \dots + 2(\delta - 2)|\eta|^m - \frac{2|\eta|^{m+1}}{1 - |\eta|}, \quad (43)$$

$$\zeta_{\alpha\beta} \dots \gamma\delta = \xi_{\alpha\beta} \dots \gamma\delta + \frac{4|\eta|^{m+1}}{1 - |\eta|}, \quad (44)$$

где m — число индексов величин ξ и ζ , которое будем называть рангом отрезков (41) и (42). Легко видеть, что

$$\xi_{\alpha\beta} \dots \gamma_1 \equiv \xi_{\alpha\beta} \dots \gamma, \quad \zeta_{\alpha\beta} \dots \gamma_3 \equiv \zeta_{\alpha\beta} \dots \gamma. \quad (45)$$

Функция ν постоянна на отрезках $J_{\alpha\beta} \dots \gamma\delta$, а в точках вида $\xi_{\alpha\beta} \dots \gamma\delta$ и $\zeta_{\alpha\beta} \dots \gamma\delta$, образующих канторово множество, терпит разрывы 1-го рода. Длина каждого из отрезков m -го ранга $l_{\alpha\beta} \dots \gamma\delta$ есть

$$l_m = \frac{4|\eta|^{m+1}}{1 - |\eta|}, \quad (46)$$

а их суммарная длина

$$L_m = 3^m \frac{4|\eta|^{m+1}}{1 - |\eta|} \rightarrow 0, \quad |\eta| < 1/3, \quad m \rightarrow \infty. \quad (47)$$

Следовательно, функция ν действительно постоянна всюду, кроме счетного множества точек, в которых она терпит скачок первого рода, возможно сколь угодно малый.

Для выработки общего алгоритма вычисления функции $\nu(\varepsilon)$ проведем следующие рассуждения. Значения $\lambda_{\sigma}(\sigma) \in J_1$ для σ , содержащих триаду (3-кластер) $(+++)$: значит, $\nu(\varepsilon)$ для ε из J_1 (или просто $\nu(J_1)$) есть мера числа последовательностей, не содержащих $(+++)$. Аналогично J_2 соответствует последовательностям σ , не содержащим ни $(+++)$, ни $(++-)$ или $(-++)$. Обобщение приводит к следующему алгоритму вычисления $\nu(\varepsilon)$ при данном ε .

1) Определить такой набор индексов $(\alpha_1, \alpha_2, \dots, \alpha_m)$, что $\varepsilon \in J_{\alpha_1 \alpha_2 \dots \alpha_m}$.

2) Вычислить число \mathcal{N}_N таких конфигураций σ длиной N , что а) для всех α_j , равных 1, не существует k такого, что $\sigma_k = +1$ и $\sigma_{k-j} = \sigma_{k+j} = +1$ при нечетном j (или $\sigma_{k-j} = \sigma_{k+j} = -1$ при четном j); б) для всех α_j , равных 2, для каждого k такого, что $\sigma_k = +1$, $\sigma_{k-j} = \sigma_{k+j} = -1$ при нечетном j (или $\sigma_{k-j} = \sigma_{k+j} = +1$ при четном j).

3) Вычислить $\nu(\varepsilon)$ в соответствии с (34).

Отбор по $j=1$ оставляет конфигурации σ , содержащие три типа 3-кластеров с $(+)$ в центре, если $\alpha_1=1$, и один такой тип, если $\alpha_1=2$. Это соответствует 12 и 4 типам 5-кластеров соответственно. Отбор по $j=2$ оставит из них 3/4 или 1/4 в зависимости от того, будет ли $\alpha_2=1$ или $\alpha_2=2$. Вообще все конфигурации σ , соответствующие интервалу $\varepsilon \in J_{\alpha_1 \alpha_2 \dots \alpha_m}$, могут быть получены как всевозможные комбинации $(2m+1)$ -кластеров, удовлетворяющих условиям 2а), б), причем число типов таких кластеров с $(+)$ в центре есть

$$\prod_{i=2}^m (5 - 2\alpha_i). \quad (48)$$

Вычислим $\nu(J_2)$ (т. е. $\nu(\varepsilon)$: $\varepsilon \in J_2$) по индукции. Для данного интервала $J_{\alpha_1 \dots \alpha_m}$ назовем комбинацию плюсов и минусов длины n разрешенной, если выполнены условия 2а), б), и запрещенной в противном случае. Обозначим количество разрешенных n -комбинаций через p_n , запрещенных — f_n ; очевидно,

$$p_n + f_n = 2^n, \quad (49)$$

а сами такие комбинации обозначим σ_p^n и σ_f^n соответственно. Для J_2 запрещенными являются все комбинации, содержащие $(++)$.

Пусть для некоторого n известно f_n . Все комбинации σ_f^{n+1} могут быть получены двумя путями: а) добавлением (+) или (-) к каждой σ_f^n и б) добавлением (+) к разрешенной комбинации вида (...-+), причем первые $n-2$ символы могут образовывать произвольную σ_f^{n-2} -комбинацию. Таким образом,

$$f_{n+1} = 2f_n + p_{n-2}, \quad (50)$$

что с учетом (49) дает рекуррентное уравнение

$$p_n - 2p_{n-1} + p_{n-2} = 0 \quad (51)$$

с начальными условиями

$$p_1 = 2, p_2 = 3, p_3 = 5. \quad (52)$$

Решения уравнения (51) ищутся в виде

$$p_n = C\lambda^n, \quad (53)$$

что приводит к уравнению

$$\lambda^3 - 2\lambda^2 + 1 = 0. \quad (54)$$

Корни (54) записываются следующим образом:

$$\lambda_1 = 1, \lambda_2 = (1 - \sqrt{5})/2, \lambda_3 = (1 + \sqrt{5})/2 \approx 1.618. \quad (55)$$

Общее решение (51) есть

$$p_n = C_1 + C_2\lambda_2^n + C_3\lambda_3^n. \quad (56)$$

Ввиду неравенства $|\lambda_2| < 1$ в пределе $n \rightarrow \infty$ имеем

$$p_n \approx C_3\lambda_3^n, \quad (57)$$

$$\nu = \lim_{n \rightarrow \infty} \frac{1}{n} \log_2 p_n = \log_2 \lambda_3 = \log_2 ((1 + \sqrt{5})/2) \approx 0.694. \quad (58)$$

Аналогичные рассуждения для интервала J_1 приводят к уравнению

$$\lambda^4 = 2\lambda^3 + 1 = 0 \quad (59)$$

с корнями

$$\lambda_1 = 1, \lambda_2 = \frac{1}{3} \left(1 + \sqrt[3]{19 + \sqrt{297}} + \sqrt[3]{19 - \sqrt{297}} \right) \approx 1.839,$$

$$\begin{aligned} \lambda_{3,4} = \frac{1}{3} \left(1 - \frac{1}{2} \left(\sqrt[3]{19 + \sqrt{297}} + \sqrt[3]{19 - \sqrt{297}} \right) \pm \right. \\ \left. \pm i \frac{\sqrt{3}}{2} \left(\sqrt[3]{19 + \sqrt{297}} - \sqrt[3]{19 - \sqrt{297}} \right) \right). \end{aligned} \quad (60)$$

Ввиду того что $|\lambda_{3,4}| \approx 0.54 < 1$,

$$\nu = \log_2 \lambda_2 \approx 0.879. \quad (61)$$

Итак, мы получили точные значения $\nu(J_1)$ и $\nu(J_2)$. Однако уже для J_{11}, \dots, J_{22} тот же метод приводит к сложным комбинаторным задачам и получить простые рекуррентные уравнения не удастся. Оказывается, что существует эквивалентный вероятностный метод, позволяющий получить для J_1 и J_2 аналитические, а во всех остальных случаях численные решения.

Назовем n -кластером отрезок длины n последовательности σ нулей и единиц, а значением n -кластера — десятичный эквивалент двоичного числа, изображаемого этим отрезком: например, значение 5-кластера (01101) есть 25.

Разбивая σ всеми возможными способами на n -кластеры при фиксированном n , определим «концентрацию» c_K n -кластеров со значением K , причем 2^n величин c_K связано уравнениями

$$c_K + c_{K+I} = c_{2K} + c_{2K+1}, \quad K = 0, 1, \dots, I-1, \quad I = 2^{n-1}, \quad (62)$$

из которых $I-1$ независимы, и условием нормировки

$$\sum_K c_K = 1. \quad (63)$$

Наоборот, задаваясь набором c_K , $K=0, 1, \dots, I-1$, можно построить последовательность, в определенном смысле подобную данной. Можно показать, что построенная таким образом последовательность соответствует (частично) неупорядоченной системе с удельной конфигурационной энтропией

$$s = - \sum_{K=0}^{2I-1} (c_K \ln c_K) + \sum_{K=0}^{I-1} (c_{2K} + c_{2K+1}) \ln (c_{2K} + c_{2K+1}). \quad (64)$$

Поскольку энтропия — это натуральный логарифм числа состояний (при нулевой температуре), ясно, что связь между ней и определенным в (33) параметром ν имеет вид

$$s = \nu \ln 2. \quad (65)$$

В частности, для упорядоченной последовательности (. . .000. . .) $c_0=1$, $c_K=0$, $K > 0$, что дает $s=0$; в случае абсолютного хаоса ($c_K=2^{-n} \forall K$) имеем $s=\ln 2$.

Для определения энтропии состояния, соответствующего данному интервалу $J_{a_1 a_2 \dots a_m}$, воспользуемся $(2m+1)$ -кластерным приближением. Положим равными нулю концентрации кластеров, запрещенных согласно условиям 2а), б), причем значение выражения $c_j \ln c_j$ при $c_j=0$ доопределяется по непрерывности и принимается равным нулю. Затем проведем оптимизацию по всем остальным c_K для нахождения условного экстремума энтропии (64). Так, для интервала J_2 , где запрещены комбинации, содержащие $(++)$, в 2-кластерном приближении $c_3=0$ и надо решать задачу на условный экстремум функции

$$s = -c_0 \ln c_0 - c_1 \ln c_1 + (c_0 + c_1) \ln (c_0 + c_1) \quad (66)$$

с уравнениями связи

$$c_0 + c_1 = c_0 + c_2, \quad c_0 + c_1 + c_2 = 1. \quad (67)$$

Решая систему уравнений

$$\frac{\partial L}{\partial c_0} = 0, \quad \frac{\partial L}{\partial c_1} = 0, \quad \frac{\partial L}{\partial \lambda} = 0 \quad (68)$$

для функций Лагранжа

$$L = s - \lambda (c_0 + 2c_1 - 1), \quad (69)$$

получим

$$c_0 = 1/\sqrt{5}, \quad c_1 = (1 - 1/\sqrt{5})/2, \quad s = \ln((1 + \sqrt{5})/2), \quad \nu = \log_2((1 + \sqrt{5})/2), \quad (70)$$

что совпадает с решением (58).

Для интервала J_1 энтропийный метод, так же как и метод рекуррентных уравнений, приводит к кубическому уравнению и дает решение, совпадающее с (61). В более сложных случаях получить аналитическое решение не удастся, но численное решение может быть получено по единому алгоритму для любого интервала $J_{a_1 \dots a_m}$.

3. Влияние внешнего поля. Обсуждение результатов

В рассматриваемой одномерной модели стекла вследствие нелинейности потенциала близкого действия (3) и его «конкуренции» с потенциалом дальнего действия (2) возникают эффективные двухъямные потенциалы. В определенном диапазоне изменения параметров каждая связь может находиться в одном из двух состояний: «сжатом» (19) или «растянутом» (20), что обуславливает существование как полностью упорядоченной, так и хаотических структур. Наложение внешнего поля деформаций ведет к изменению эффективных параметров потенциала a_{\pm} и b , а следовательно, и параметров A и B в уравнении самосогласования (8). Таким образом, наложение внешней нагрузки меняет параметр ϵ , определенный в выражении (24); в связи с этим величину ϵ можно назвать эффективной интенсивностью внешнего поля.

Из полученных выше результатов следует, что при действии внешнего поля наблюдается уменьшение полного числа состояний системы, которое описывается функцией $\nu(\epsilon)$ (рис. 2, 3), а значит, и числа двухъямных состояний. При превышении некоторой критической интенсивности поля ($|\epsilon| = \zeta$) возможна лишь одна равновесная конфигурация, соответствующая упорядоченной структуре. В случае сжатия ($\epsilon < 0$) такая структура представляет собой плотную кристаллическую фазу (длины всех связей минимальны). При растяжении ($\epsilon > 0$) образующаяся структура тоже оказывается упорядоченной, но ее физическая природа иная: она реализуется при максимальных деформациях связей. Ее можно было бы назвать «жидкоподобной», поскольку именно в области с неплотной упаковкой обеспечивают жидкоподобное поведение и в 2- и 3-мерных моделях; в одномерном же случае течение просто невозможно.

Для любого заданного ϵ при низких температурах равновесным является упорядоченное состояние. Неупорядоченные же состояния, если они существуют (т. е. при $|\epsilon| < \zeta$), метастабильны. Существование и количество двухъямных потенциалов определяется внешним полем, так что система может быть переведена из стеклообразного состояния в кристаллическое или жидкоподобное путем растяжения или сжатия без изменения температуры.

Список литературы

- [1] Reichert P., Schilling R. // Phys. Rev. B. 1985. V. 32. N 9. P. 5731—5744.
- [2] Schilling R., Reichert P. // J. Non-Cryst. Sol. 1985. V. 75. P. 129—134.

Институт химической физики
им. Н. Н. Семенова РАН
Москва

Поступило в Редакцию
10 июня 1991 г.